

УДК 533.341

## ВЫЧИСЛЕНИЕ ТЕМПЕРАТУРНЫХ СДВИГОВ СПЕКТРАЛЬНЫХ ЛИНИЙ ИОНА $\text{Yb}^{3+}$ В КРИСТАЛЛЕ $\text{NaBi}(\text{WO}_4)_2$

Г.Г. ДЕМИРХАНЯН

Армянский педагогический университет им. Х.Абовяна

(Поступила в редакцию 6 сентября 2006 г.)

На основе гамильтониана электрон-фононного взаимодействия фрелиховского типа вычислены одно- и двухфононные неадиабатические вклады в смещение электронных уровней примесных редкоземельных ионов в кристаллах. Показано, что направление сдвига линии зависит от температуры. Вычислены температурные сдвиги всех штартковских уровней иона  $\text{Yb}^{3+}$  в  $\text{NaBi}(\text{WO}_4)_2$  и определены температурные зависимости смещений спектральных линий длин волн 996.6 нм и 1010.2 нм.

### 1. Введение

Известно, что в диэлектрических кристаллах процессы обмена фононами между электронной и фононной подсистемами, происходящими вследствие электрон-фононного взаимодействия (ЭФВ), наряду с уширением бесфононных линий (БФЛ) примесного иона приводят к зависящим от температуры смещениям их максимумов [1-3]. Тем самым сдвиги БФЛ, вместе с уширением и фактором Дебая-Валлера, определяют температурную зависимость интенсивности спектральной линии. В [1] получены выражения для сдвига БФЛ в случае, когда электронные уровни сильно удалены друг от друга (адиабатические вклады). Однако для кристаллов, легированных трехвалентными редкоземельными ( $\text{P}^{3+}$ ) ионами, реализуется обратный случай, так как внутримультиплетное расщепление уровней свободного  $\text{P}^{3+}$  иона в кристаллическом поле намного меньше энергии дебаевского фонона. Поэтому оценка температурных ширин и сдвигов БФЛ примесных  $\text{P}^{3+}$  ионов на основе формул Маккамбера-Старджа [1] не правомерна. В [3] получены выражения для неадиабатических вкладов в смещение БФЛ, индуцированных одно- и двухфононными переходами. Однако, допущенные в [3] неточности и необоснованные приближения приводят к неправильным температурным зависимостям сдвига линии при низких температурах.

Кристаллы  $\text{NaBi}(\text{WO}_4)_2:\text{Yb}^{3+}$  занимают особое место среди низкопороговых лазерных материалов. Это в первую очередь обусловлено большими величинами поперечного сечения вынужденного перехода и кубической нелинейности, что дает возможность построения на основе этих кристаллов эф-

фективных рамановских преобразователей частоты. С другой стороны, ввиду простоты энергетической схемы ионов иттербия, кристаллы  $\text{NaBi}(\text{WO}_4)_2:\text{Yb}^{3+}$  являются удобной моделью для теоретических исследований спектроскопических свойств примесных кристаллов.

В [4] на основе анализа низкотемпературных спектров примесного поглощения и испускания построена энергетическая схема уровней иона  $\text{Yb}^{3+}$  в  $\text{NaBi}(\text{WO}_4)_2$ , а в [5] определены параметры кристаллического поля и построены волновые функции штарковских состояний. В [6] вычислены силы линий межштарковских переходов и на их основе рассчитаны основные спектроскопические характеристики внутрицентровых межштарковских переходов (поперечные сечения и вероятности спонтанных переходов, коэффициенты ветвления люминесценции и т.д.).

В настоящей работе на основе детального вычисления межштарковских матричных элементов ЭФВ по формулам, полученным в рамках теоретических построений работы [3], рассчитаны температурные смещения всех штарковских уровней иона  $\text{Yb}^{3+}$  в  $\text{NaBi}(\text{WO}_4)_2$ , определены температурные зависимости смещений бесфононных линий излучения на длинах волн 996.6 нм и 1010.2 нм, имеющих наибольшие коэффициенты ветвления люминесценции [6].

## 2. Смещение БФЛ межштарковских переходов

Сдвиг спектральной линии  $\Delta\varepsilon_{if}$  электронного перехода  $i \rightarrow f$ , очевидно, выражается через смещения  $\Delta\varepsilon_i$  начального и  $\Delta\varepsilon_f$  конечного штарковских подуровней  $i$  и  $f$ :

$$\Delta\varepsilon_{if} = \Delta\varepsilon_i - \Delta\varepsilon_f. \quad (1)$$

Ограничивааясь одно- и двухфононными процессами, запишем сдвиг уровня  $\nu$  в виде

$$\Delta\varepsilon_\nu = \Delta\varepsilon_\nu^{(1)} + \Delta\varepsilon_\nu^{(2)}, \quad (2)$$

где  $\Delta\varepsilon_\nu^{(1)}$  и  $\Delta\varepsilon_\nu^{(2)}$  – одно- и двухфононный вклады в смещение уровня  $\nu$ , обусловленные обменом, соответственно, одним и двумя фононами решетки. Проводя вычисления на основе гамильтониана ЭФВ Фрелиховского типа [2,3]

$$H_{e-ph} = \sum_n \sum_{\alpha_1 \dots \alpha_n} \sum_{\nu, \nu'} B_{\alpha_1 \dots \alpha_n}^{(n)} (\nu, \nu') a_\nu^+ a_{\nu'} (b_{\alpha_1}^+ + b_{\alpha_1}) \dots (b_{\alpha_n}^+ + b_{\alpha_n}), \quad (3)$$

в первом порядке теории возмущений для  $\Delta\varepsilon_\nu^{(1)}$  и  $\Delta\varepsilon_\nu^{(2)}$  получим:

$$\Delta\varepsilon_\nu^{(1)} = \frac{1}{\hbar} \cdot \sum_\alpha \left| B_\alpha^{(1)} (\nu, \mu) \right|^2 \left[ \frac{1+\nu_\alpha}{\Delta_{\nu\mu} - \omega_\alpha} + \frac{\nu_\alpha}{\Delta_{\nu\mu} + \omega_\alpha} \right], \quad (4)$$

$$\Delta\varepsilon_\nu^{(2)} = \frac{1}{\hbar} \cdot \sum_{\alpha, \beta} \sum_\mu \left| B_{\alpha, \beta}^{(2)} (\nu, \mu) \right|^2 \cdot \left\{ \frac{(1+\nu_\alpha) \cdot (1+\nu_\beta)}{\Delta_{\nu\mu} - \omega_\alpha - \omega_\beta} + \frac{\nu_\alpha \nu_\beta}{\Delta_{\nu\mu} + \omega_\alpha + \omega_\beta} + \frac{2 \cdot (1+\nu_\alpha) \nu_\beta}{\Delta_{\nu\mu} - \omega_\alpha + \omega_\beta} \right\}, \quad (5)$$

где  $a_\nu^+$  и  $a_\nu(b_\alpha^+)$  – электронные (фононныи) операторы рождения и уничтожения,  $\Delta_{\nu\mu} = (\varepsilon_\nu - \varepsilon_\mu)/\hbar$  – частота электронного перехода  $\nu \rightarrow \mu$  ( $\varepsilon_\nu$  – энергия  $\nu$ -ого штарковского состояния, отсчитанная от нижайшего подуровня),  $\omega_\alpha$  и  $v_\alpha = [\exp(\hbar\omega_\alpha/kT) - 1]^{-1}$  – соответственно, частота и число решеточных фононов типа  $\alpha$  ( $\alpha$  нумерует ветвь и волновой вектор фона,  $T$  – температура,  $k$  и  $\hbar$  – постоянные Больцмана и Планка). Ограничивааясь длинноволновым приближением, входящие в (3) коэффициенты ЭФВ представим в виде

$$B_{\alpha_1 \dots \alpha_n}^{(n)}(\nu', \nu) = \langle \nu' | V^{(n)} | \nu \rangle \prod_{i=1}^n \sqrt{\frac{\hbar\omega_{\alpha_i}}{2M v_{o\alpha_i}^2}} \cdot \sin \delta_{\alpha_i}, \quad (6)$$

где  $M$  – масса кристалла,  $v_{o\alpha}$  и  $\delta_\alpha$  – соответственно, скорость фона типа  $\alpha$  и случайная фаза колебаний,  $\langle \nu' | V^{(n)} | \nu \rangle$  – межштарковские матричные элементы  $n$ -ого члена разложения оператора потенциальной энергии взаимодействия оптического электрона примесного иона с ионами решетки по степеням смещения последних из положений равновесия. Подставляя (6) в (4) и (5) и переходя от суммирования по фононным состояниям к интегрированию в приближении Дебая  $\left( \sum_\alpha \dots \rightarrow \frac{3V}{2\pi^2 v_o^3} \int_0^{\omega_D} \omega^2 d\omega \right)$ , для зависящих от температуры одно- и двухфононных сдвигов получим:

$$\Delta\varepsilon_\nu^{(1)} = \frac{3\omega_D^2}{4\pi^2 \rho v_o^5} \cdot \sum_\mu \left| \langle \nu | V^{(1)} | \mu \rangle \right|^2 \cdot \Delta_{\nu\mu} \cdot I_{\nu\mu}^{(1)}(T), \quad (7)$$

$$\Delta\varepsilon_\nu^{(2)} = \frac{9\hbar\omega_D^7}{64\pi^4 \rho^2 v_o^{10}} \cdot \sum_\mu \left| \langle \nu | V^{(2)} | \mu \rangle \right|^2 \cdot I_{\nu\mu}^{(2)}(T), \quad (8)$$

где  $\rho$  – плотность кристалла,  $\omega_D$  – частота Дебая, интегралы

$$I_{\nu\mu}^{(1)} = \left( \frac{T}{T_D} \right)^2 \cdot \text{p.v.} \int_0^{T_D/T} \frac{1}{a_{\nu\mu}^2 - x^2} \cdot \frac{x^3}{e^x - 1} dx, \quad (9)$$

$$I_{\nu\mu}^{(2)} = \left( \frac{T}{T_D} \right)^7 \cdot \text{p.v.} \int_0^{T_D/T} dx \int_0^{T_D/T} dy \frac{x^3 \cdot y^3}{(e^x - 1) \cdot (e^y - 1)} \left\{ \frac{e^x + e^y - 1}{a_{\nu\mu} - x - y} + \frac{1}{a_{\nu\mu} + x + y} + \frac{2e^x}{a_{\nu\mu} - x + y} \right\} \quad (10)$$

определяют температурные зависимости одно- и двухфононных вкладов в смещение уровня  $\nu$  ( $a_{\mu\nu} = \hbar\Delta_{\mu\nu}/kT$ ,  $T_D$  – температура Дебая). В частности, если рассматриваемый уровень  $\nu$  изолирован,  $|a_{\lambda\nu}| \gg T_D/T$ , то интегралы (9) и (10) легко преобразуются к виду

$$I_{\nu\mu}^{(1)}(ad) = \frac{1}{4} \frac{T_D}{T_{\lambda\nu}} \left( \frac{1}{4} + 2 \cdot \left( \frac{T}{T_D} \right)^4 \cdot I_3 \left( 0, \frac{T_D}{T} \right) \right), \quad (11)$$

$$I_{\nu\mu}^{(2)}(ad) = \frac{T_D}{T_{\lambda\nu}} \cdot \left\{ \frac{1}{16} + \left( \frac{T}{T_D} \right)^4 I_3 \left( 0, \frac{T_D}{T} \right) + 4 \cdot \left( \frac{T}{T_D} \right)^8 I_3^2 \left( 0, \frac{T_D}{T} \right) \right\}, \quad (12)$$

где введены обозначения  $T_{\mu\nu} = \hbar\Delta_{\mu\nu}/k$  и  $I_n(a, b) = \int_a^b x^n \cdot (e^x - 1)^{-1} dx$ . Таким образом

зом, в этом предельном случае (с точностью до последнего члена в (12)) получается известная формула Маккамбера-Старджа [1]. Отметим, что, вследствие наличия параметрически зависящих от температуры полюсов подынтегральных функций (9) и (10), неадиабатические сдвиги уровней в зависимости от температуры могут происходить как в длинноволновую, так и в коротковолновую сторону. Температура, при которой смещение уровня (а также спектральной линии) меняет свое направление, очевидно, зависит от конкретной кристаллической системы и конкретного электронного перехода.

### 3. Смещение штарковских уровней иона $\text{Yb}^{3+}$ в $\text{NaBi}(\text{WO}_4)_2$

Из приведенной в [4,5] энергетической схемы иона  $\text{Yb}^{3+}$  в  $\text{NaBi}(\text{WO}_4)_2$  видно, что штарковские расщепления мультиплетов  ${}^2\text{F}_{5/2}$  и  ${}^2\text{F}_{7/2}$  не превосходят энергию двух дебаевских фононов ( $\omega_0 \approx 350 \text{ см}^{-1}$  [7]), так что сдвиги штарковских уровней примесного иона обусловлены одно- и двухфононными переходами. Как известно, в матрице кристалла  $\text{NaBi}(\text{WO}_4)_2$  ион  $\text{Yb}^{3+}$  находится в слегкаискаженном кубическом кислородном окружении [7], поэтому в наших расчетах будем исходить из гамильтониана ЭФВ для кубического комплекса [8]. Вычисляя матричные элементы гамильтониана ЭФВ по волновым функциям штарковских состояний иона  $\text{Yb}^{3+}$  и проводя усреднение по всем направлениям волнового вектора кристаллических фононов, для однофононных сдвигов штарковских уровней согласно формуле (7) получим:

$$\begin{aligned}\Delta\epsilon^{(1)}(\nu_1) &= -14.0739 \cdot Z^2 \cdot I_{\nu_1, \nu_2}^{(1)}, \\ \Delta\epsilon^{(1)}(\nu_2) &= 14.0739 \cdot Z^2 \cdot I_{\nu_2, \nu_1} - 4.3587 \cdot Z^2 \cdot I_{\nu_2, \nu_3} - 0.1211 \cdot Z^2 I_{\nu_2, \nu_4}, \\ \Delta\epsilon^{(1)}(\nu_3) &= 4.3587 \cdot Z^2 \cdot I_{\nu_3, \nu_2} - 9.8728 \cdot Z^2 \cdot I_{\nu_3, \nu_4}, \\ \Delta\epsilon^{(1)}(\nu_4) &= 0.1211 \cdot Z^2 \cdot I_{\nu_4, \nu_2}^{(1)} + 9.8728 \cdot Z^2 \cdot I_{\nu_4, \nu_3}^{(1)}, \quad \Delta\epsilon^{(1)}(\nu_5) = -11.3290 \cdot Z^2 \cdot I_{\nu_5, \nu_6}^{(1)}, \\ \Delta\epsilon^{(1)}(\nu_6) &= 11.329 \cdot Z^2 \cdot I_{\nu_6, \nu_5}^{(1)} - 11.071 \cdot Z^2 \cdot I_{\nu_6, \nu_7}^{(1)}, \quad \Delta\epsilon^{(1)}(\nu_7) = 11.071 \cdot Z^2 \cdot I_{\nu_7, \nu_6}^{(1)},\end{aligned}\tag{13}$$

а для смещений, индуцированных двухфононными переходами, согласно (8) получим:

$$\begin{aligned}\Delta\epsilon_{\nu_1}^{(2)} &= 0.5327 \cdot Z^2 \cdot I_{\nu_1, \nu_2}^{(2)} + 0.4175 \cdot Z^2 \cdot I_{\nu_1, \nu_3}^{(2)} + 0.0057 \cdot Z^2 \cdot I_{\nu_1, \nu_4}^{(2)}, \\ \Delta\epsilon_{\nu_2}^{(2)} &= 0.5327 \cdot Z^2 \cdot I_{\nu_2, \nu_1}^{(2)} + 0.2006 \cdot Z^2 \cdot I_{\nu_2, \nu_3}^{(2)} + 0.0042 \cdot Z^2 \cdot I_{\nu_2, \nu_4}^{(2)}, \\ \Delta\epsilon_{\nu_3}^{(2)} &= 0.4175 \cdot Z^2 \cdot I_{\nu_3, \nu_1}^{(2)} + 0.2006 \cdot Z^2 \cdot I_{\nu_3, \nu_2}^{(2)} + 0.7059 \cdot Z^2 \cdot I_{\nu_3, \nu_4}^{(2)}, \\ \Delta\epsilon_{\nu_4}^{(2)} &= 0.0057 \cdot Z^2 \cdot I_{\nu_4, \nu_1}^{(2)} + 0.0042 \cdot Z^2 \cdot I_{\nu_4, \nu_2}^{(2)} + 0.7059 \cdot Z^2 \cdot I_{\nu_4, \nu_3}^{(2)}, \\ \Delta\epsilon_{\nu_5}^{(2)} &= 0.7321 \cdot Z^2 \cdot I_{\nu_5, \nu_6}^{(2)} + 0.7454 \cdot Z^2 \cdot I_{\nu_5, \nu_7}^{(2)}, \\ \Delta\epsilon_{\nu_6}^{(2)} &= 0.7321 \cdot Z^2 \cdot I_{\nu_6, \nu_5}^{(2)} + 0.3762 \cdot Z^2 \cdot I_{\nu_6, \nu_7}^{(2)},\end{aligned}\tag{14}$$

$$\Delta\epsilon_{v_1}^{(2)} = 0.7454 \cdot Z^2 \cdot I_{v_1, v_3}^{(2)} + 0.3762 \cdot Z^2 \cdot I_{v_1, v_6}^{(2)},$$

где  $Z$  – входящий в гамильтониан ЭФВ эффективный заряд ионов первой координационной сферы примесного иона, а зависящие от температуры интегралы  $I_{v_1, v_3}^{(1)}$  и  $I_{v_1, v_6}^{(2)}$  определяются формулами (9) и (10). При этом для параметров, входящих в (7) и (8), использованы следующие значения [6,7]:

$$v_0=4 \cdot 10^5 \text{ см/сек}, \rho=7.57 \text{ г/см}^3, R_0=2.5 \text{ \AA}, T_D=504.7 \text{ К}, \overline{r^2}=0.613 \text{ а.е.}, \overline{r^4}=0.96 \text{ а.е.},$$

$$\overline{r^6}=3.108 \text{ а.е. } (\overline{r^k})=\int_0^\infty [R_{4f}(r)] \cdot r^{k+2} dr, R_{4f}(r) - \text{хартри-фоковская радиальная волновая функция примесного иона}.$$

новая функция примесного иона). Вычисление интегралов (9) и (10) без применения достаточно грубых приближений, в результате которых “смазывается” температурная зависимость сдвига уровней, невозможно. Однако, используя программный пакет “Математика-5”, можно построить графики зависимости этих интегралов от температуры, не вычисляя их аналитически. На рис.1 и 2 приведены температурные зависимости вкладов одно- и двухфонных переходов в смещение основных штарковских подуровней мультиплетов  ${}^2F_{7/2}$  и  ${}^2F_{5/2}$  при  $Z=1$  а.е. Отметим, что величину эффективного заряда  $Z$  следует определить из результатов спектроскопических измерений, например, сдвига или однородной ширины наиболее интенсивной линии. К

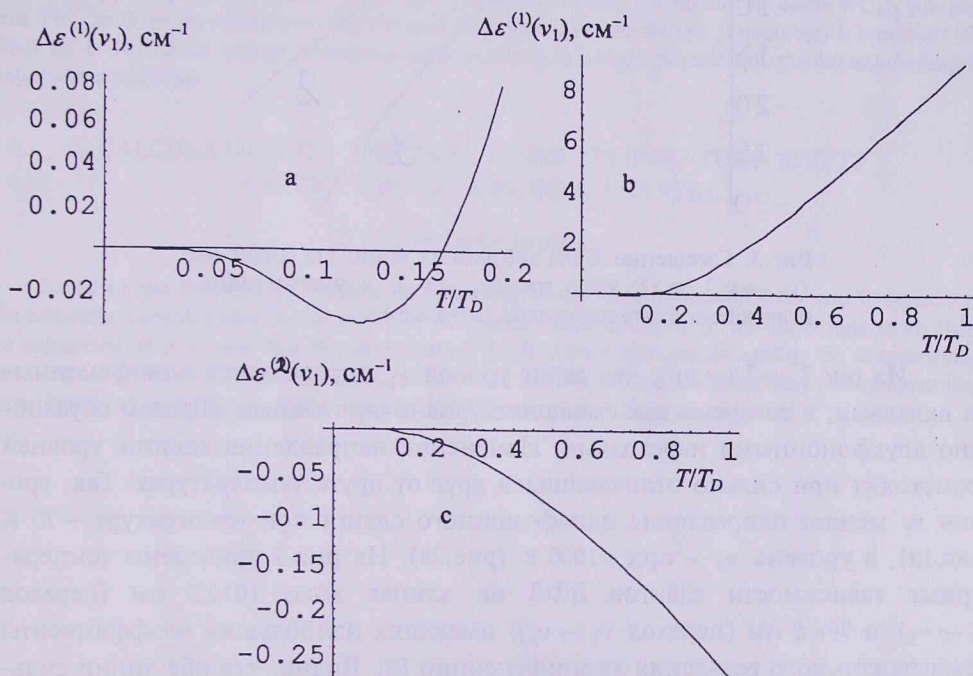


Рис.1. Температурная зависимость однофононного смещения уровня  $v_1$ : (а) при низких и (б) при высоких температурах; (с) двухфононный сдвиг уровня  $v_1$  ( $Z=1$  а.е.).

сожалению, такого рода измерения для рассматриваемой кристаллической системы отсутствуют. Оценка же величины  $Z$  из условия равновесия кубического комплекса, в центре которого находится примесный  $\text{P}^{3+}$  ион, приводит к значению  $Z = 12\sqrt{2}/(3\sqrt{6} + 3\sqrt{3} + \sqrt{2}) \approx 1.2$  а.е.

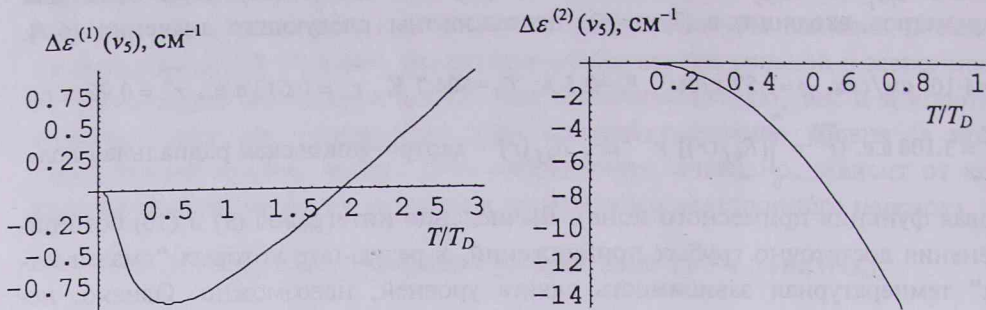


Рис.2. Температурная зависимость однофононного (а) и двухфононного (б) смещений уровня  $\nu_5$  ( $Z = 1$  а.е.).

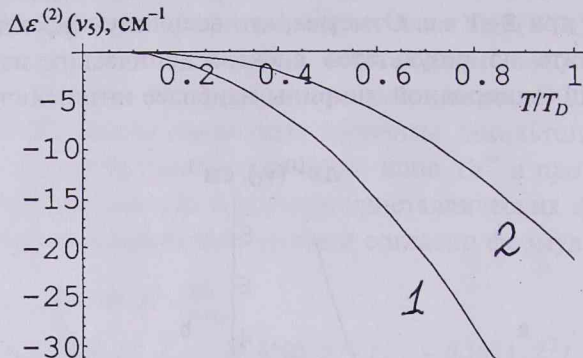


Рис.3. Смещение БФЛ на длинах волн: (1) 1010.2 нм ( $\nu_5 \rightarrow \nu_3$ ) и (2) 996.6 нм ( $\nu_5 \rightarrow \nu_2$ ), с учетом одно- и двухфононных переходов ( $Z = 1$  а.е.).

Из рис.1 и 2 видно, что сдвиг уровня  $\nu_1$  определяется однофононными вкладами, в то время как смещение уровня  $\nu_5$  главным образом обусловлено двухфононными переходами. Изменение направления сдвигов уровней происходит при сильно отличающихся друг от друга температурах. Так, уровень  $\nu_1$  меняет направление однофононного сдвига при температуре  $\sim 70$  К (рис.1а), а уровень  $\nu_5$  – при  $\sim 1000$  К (рис.2а). На рис.3 приведены температурные зависимости сдвигов БФЛ на длинах волн 1010.2 нм (переход  $\nu_5 \rightarrow \nu_3$ ) и 996.6 нм (переход  $\nu_5 \rightarrow \nu_2$ ), имеющих наибольшие коэффициенты межштарковского ветвления люминесценции [6]. Видно, что обе линии сильно смещаются ( $\sim 15 \div 20 \text{ cm}^{-1}$ ), что дает возможность температурной перестройки излучения на этих длинах волн.

Работа выполнена при поддержке гранта ISTC A-1033.

## ЛИТЕРАТУРА

1. D.E.McCumber, M.D.Sturge. J. Appl. Phys., 34, 1682 (1963).
2. Ю.Е.Перлин, Б.С.Цукерблат. Эффекты электронно-колебательного взаимодействия в оптических спектрах примесных парамагнитных ионов. Кишинев, изд. Штиинца, 1974.
3. Ф.П.Сафарян. К теории температурного сдвига спектральных линий примесных диэлектрических кристаллов. Препринт ПЛРФ-78-15, ЕГУ, 1978.
4. L.D.Merkle, M.Dubinskii, B.Zandi, J.B.Gruber, D.K.Sardar, E.P.Kokanyan, V.G.Babajanyan, G.G.Demirkhanyan, R.B.Kostanyan. Optical Materials, 27, 343 (2004).
5. V.G.Babajanyan, G.G.Demirkhanyan, E.P.Kokanyan, R.B.Kostanyan. Proc. of Conf. on LP-2004, Ashtarak, Armenia, 2005, p.29.
6. В.Г.Бабаджанян, Г.Г.Демирханян, Э.П.Коканян, Р.Б.Костанян. Изв. НАН Армении, Физика, 41, 113 (2006).
7. J.Hanusa, A.Benzar, A.Haznar, M.Maczka, A.Pietraszko, J.H. van der Maas. Vibrational Spectroscopy, 12, 25 (1996).
8. Г.Г.Демирханян, Ф.П.Сафарян. Уч. записки ЕрГУ, №2, 61 (1981).

NaBi(WO<sub>4</sub>)<sub>2</sub> ԲՅՈՒՐԵՂՈՒՄ ՅԵ<sup>3+</sup> ԻՈՆԻ ՍՊԵԿՏՐԱԼ ԳԵՐԻ  
ԶԵՐՍԱՍԻԾԱՆԱՅԻՆ ԾԵՂՈՒՄՆԵՐԻ ՀԱՇՎՈՒՄԸ

### Գ.Գ. ԴԵՄԻՐԽԱՆՅԱՆ

Էլեկտրոն-ֆոնն փոխազդեցուրյան ֆրյուլիսի տիպի համիլտոնիանի հիման վրա հաշված են բյուրեղներում հազվագյուտ հողի խմբի խառնուրդային ինների էլեկտրոնային մակարդակների շեղամների մեջ մեկ և երկփոննային ոչ աղիքաբատային ներդրումները։ Ցույց է տրված զծի շեղամն ուղղության փոփոխությունը՝ կախված ջերմաստիճանից։ Հաշված են NaBi(WO<sub>4</sub>)<sub>2</sub> բյուրեղում ՅԵ<sup>3+</sup> իննի բոլոր շտարկյան մակարդակների ջերմաստիճանային շեղումները և որոշված են 996.6 նմ և 1010.2 նմ ալիքի երկարությամբ սպեկտրալ զծերի շեղումների ջերմաստիճանային կախվածությունները։

### CALCULATION OF SPECTRAL LINES TEMPERATURE SHIFTS OF YB<sup>3+</sup> ION IN NaBi(WO<sub>4</sub>)<sub>2</sub> CRYSTAL

G.G. DEMIRKHANYAN

Based on the Frelich-type electron-phonon interaction Hamiltonian the one- and two-phonon non-adiabatic contributions in the shifts of electronic levels of impurity rare-earth ions in crystals are calculated. It is shown that the direction of the line shift changes depending on temperature. Temperature shifts of all Stark sublevels of Yb<sup>3+</sup> ion in NaBi(WO<sub>4</sub>)<sub>2</sub> are calculated and temperature dependences of shifts for the 996.6 nm and 1010.2 nm spectral lines are obtained.